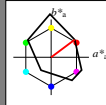


Eingabe: Farbmimetrisches Drucker-Reflektiv-System FRS06

für Buntton $h^* = lab^*h = 37/360 = 0.102$
 lab^*tch und lab^*nch

D65: Buntton R
LCH*Ma: 33 78 37
olv*Ma: 1.0 0.0 0.0

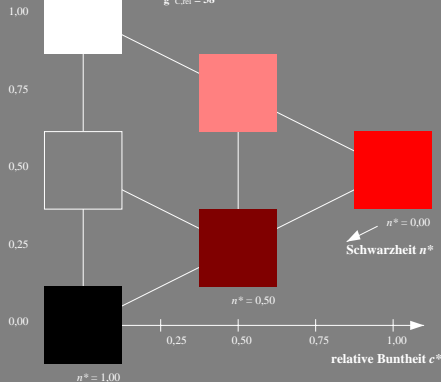
Dreiecks-Helligkeit t^*



%Umfang
 $u^*_{rel} = 115$
%Regularität
 $g^*_{H,rel} = 28$
 $g^*_{C,rel} = 38$

FRS06; adaptierte CIELAB-Daten

	$L^*=L^*_a$	a^*_a	b^*_a	$C^*_{ab,a}$	$h^*_{ab,a}$
RMa	32.57	62.32	46.49	77.75	37
YMa	82.73	-3.16	113.99	114.03	92
GMa	39.43	-61.79	45.84	76.95	143
G50BMa	47.86	-26.79	-34.24	43.49	232
VMa	10.16	55.12	-61.03	82.24	312
B50RMa	34.5	80.68	-33.92	87.52	337
NMa	6.25	0.0	0.0	0.0	0
WMa	91.97	0.0	0.0	0.0	0
RcIE	39.92	59.8	31.05	67.38	27
IcIE	81.26	-2.52	76.25	76.29	92
GcIE	52.23	-41.56	17.14	44.96	158
BcIE	30.57	2.63	-43.77	43.86	273

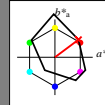


Ausgabe: Farbmimetrisches Drucker-Reflektiv-System FRS06

für Buntton $h^* = lab^*h = 37/360 = 0.102$
 lab^*tch und lab^*nch

D65: Buntton R
LCH*Ma: 33 78 37
olv*Ma: 1.0 0.0 0.0

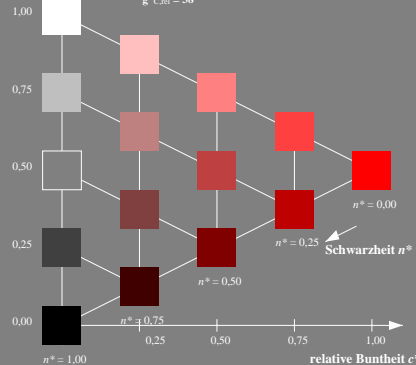
Dreiecks-Helligkeit t^*



%Umfang
 $u^*_{rel} = 115$
%Regularität
 $g^*_{H,rel} = 28$
 $g^*_{C,rel} = 38$

FRS06; adaptierte CIELAB-Daten

	$L^*=L^*_a$	a^*_a	b^*_a	$C^*_{ab,a}$	$h^*_{ab,a}$
OMa	32.57	62.32	46.49	77.75	37
YMa	82.73	-3.16	113.99	114.03	92
LMa	39.43	-61.79	45.84	76.95	143
CMa	47.86	-26.79	-34.24	43.49	232
VMa	10.16	55.12	-61.03	82.24	312
NMa	6.25	0.0	0.0	0.0	0
WMa	91.97	0.0	0.0	0.0	0
RcIE	39.92	59.8	31.05	67.38	27
IcIE	81.26	-2.52	76.25	76.29	92
GcIE	52.23	-41.56	17.14	44.96	158
BcIE	30.57	2.63	-43.77	43.86	273



VG360-7, 3stufige Reihen für konstanten CIELAB Buntton 37/360 = 0.102 (links)

5stufige Reihen für konstanten CIELAB Buntton 37/360 = 0.102 (rechts)

BAM-Prüfvorlage VG36; Farbmimetrik-Systeme CNS18 & FRS06 input: olv* setrgbcolor
D65: 3 und 5stufige Farbreihen für 10 Bunttöne

output: no change compared to input